

名古屋大学工学部 正員 川本 肇
 清水建設株式会社 正員 ○今津 雅紀
 球大学工学部 正員 渡嘉敷 直彦

1. 緒言

ひずみ軟化現象は連続体の物性として表現されるのではなく、粒状体の各粒子がカタストロフィックに変形・移動することに伴って生ずる構造的な特性ではないかと考えられるようになつてきている。ひずみ軟化をしていく各要素は、それ自身が構造不安定となるのであつて、全体構造物が安定であれば他の要素はピーク前の強度を有しておらず、ひずみ軟化した要素から分配された過剰応力を支えている。こうして現実のひずみ軟化現象においては、媒体がもはや連続体ではなくなりにもかかわらず、数値解析では連続体として取り扱わねばならず、大きなギャップを伴つてゐる。本研究では、岩質材料の三軸圧縮下における軟化現象を含む圧縮破壊挙動を実験的に解明し、その特性を構成法則として導入することによつて、変位制御型の三軸圧縮試験の数値シミュレーションを行い、比較検討している。

2. 実験概要

供試体としては、セメントモルタルを選び、普通ポルトランドセメントと豊浦標準砂を用いて、水：セメント：砂=0.65:1:2の重量配合比で、Φ

$50 \times 100 \text{ mm}$ の円柱体をつくり、27日間水中養生のち、3日間空中養生、材令30日で試験した。このモルタルの諸特性を表1に示す。載荷は、フサビを水平方向に微動させる機構の高剛性圧縮試験機を用いて、三軸状態を行つた。なお、ひずみ速度は、 $1.67 \times 10^{-3} / \text{sec}$ とし、端面拘束の状態で実験を行つた。

3. ひずみ軟化特性とその定式化

本研究で行つた剛性三軸圧縮試験結果から、比較的低拘束圧のモルタルの場合に軟化現象があらわれ、拘束圧の増加に伴つて破壊強度、残留強度が増大すること、およびそれに対しても、残りが行つた実験範囲内の静水圧下においては、図1に示すように、線形のMohr-Coulomb破壊規準でほぼ近似できることがわかつた。そこで、三軸圧縮試験供試体を数値シミュレーションするにあたり、応力-ひずみ関係のモデル化を行うため、以下のよう仮定・理想化をした。

1) 破壊強度(軟化開始点)および残留強度(流動開始点)はともにMohr-Coulomb破壊規準で近似する。

2) 応力-ひずみ関係は、図2に示すように、3本の直線で理想化する。

(ただし、非線形性をうまくフィットさせることは、Saenzの式が望ましい)

3) 軟化領域における応力経路は、側圧一定すなわち最小主応力一定にて、破壊強度から残留強度に低下するものとする。

4) 引張破壊および破壊後の構成要素は、引張応力に抵抗し得ないわゆる no-tension 材料として考える。

4. F.E.M.による解析

上記の定式化を用いて数値シミュレーションを行う場合には、対象とする供試体に加えられる荷重または強制変位を、その履歴に従つて分割して段階的に与えることが望ましい。ここでは上端面に強制変位を与える方法を

表1. 物質定数

	S_c MPa	S_t MPa	E_0 MPa	γ	r kN/m ³	w %	V_p km/s
MORTAR	34.4	1.7	6.9×10^3	0.19	21.9	10.0	4.0

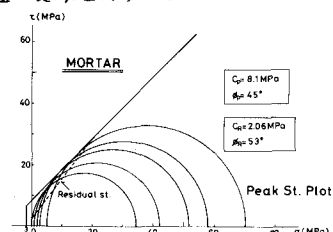


図1. 破壊規準

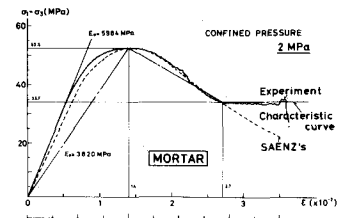


図2. 応力-ひずみ関係の定式化

採、たのと、その解析手順を簡単にしろす。

- 1) 規範荷重の応力を $\{\sigma\}$ 、ひずみを $\{\epsilon\}$ とする。
- 2) $\{\sigma\}$, $\{\epsilon\}$ に増分強制変位によ、 Σ 生じる増分応力 $\{\Delta\sigma\}_1$, 増分ひずみ $\{\Delta\epsilon\}_1$ を加え、応力 $\{\sigma\}$, ひずみ $\{\epsilon\}$ を得る。応力 $\{\sigma\}$ が破壊規準を越えているか否かをチェックし、越えてないときは、次の増分変位を与える。
- 3) 規準を超えた場合には、応力分配法により仮定した応力-ひずみ関係に収束するまで繰り返し計算する。²⁾

5. 数値解析の結果と実験結果の比較検討

解析法の妥当性を検討するために、図3に示した要素分割の軸対象モデルを考え、 Σ 軸方向のみ強制変位を段階的に与えて、変位制御の三軸圧縮試験のシミュレーションを行った。側圧2MPa時の材料定数は、実験からつぎのように得られてい。

$$\text{弾性域の変形係数} \quad E_1 = 39.68 \text{ MN/m}^2$$

$$\text{軟化域の負の傾斜の変化率} \quad E_2 = -0.44 E_1$$

$$\text{破壊強度に対するせん断強度} \quad C_p = 8.1 \text{ MPa} \quad \text{破壊強度に対する内部摩擦角} \quad \phi_p = 45^\circ$$

$$\text{残留強度} \quad C_R = 2.1 \text{ MPa} \quad \text{残留強度} \quad \phi_R = 53^\circ$$

Σ の拘束圧に対する軟化域・流動域の発達の様子を図4に示す。図は、加圧面の強制変位量に従、 Σ 示してある。実験で得た供試体の破壊形状(せん断破壊形状)と、解析によ、 Σ 得た軟化・流動域の拡がる状態を比較し考察すると以下のような。供試体は、その中央部分から発達した破壊域が表面にまで達して変形を増加させることによって、加圧面下へまだ破壊に至らない剛性の高いくさび形の領域が中央部の塑性域に押し込まれる状態になる。その後、端面付近に生じた微妙なクラックの発生も加わ、 Σ せん断破壊を起す。

図5は、供試体の図に示す要素Aにおける応力-ひずみ関係である。わざかに解の乱れはあるものの、ほぼ仮定通りの応力-ひずみ関係に収束していることがわかる。側圧2MPaにおける平均荷重強度と軸方向変形量との関係を図6に示す。図6は、実験で得られた応力-ひずみ曲線を理想化したものと、解析で得られた反力-変形量の関係を比較している。解析に適用する際、弾性係数として割線弾性係数を用いて3つの直線を理想化したこともあり、両者は完全なる一致をみない。しかし、解析では、破壊強度が46.5MPaであり、そのときの軸ひずみが 1.4×10^{-2} であるのに對して、実験値では、破壊強度が49.7MPa、軸ひずみが 1.5×10^{-2} でありかなりの一一致がみられる。軟化領域・流動領域について、定性的に一致すると言えるものの、実験値とかけ離れていく。これらの傾向は、有限要素解析が連続体の力学に基づいていていたものに対し、不連続性の発生およびその逐次進行現象である軟化および破壊にそのまま応用している(実験で得られた応力-ひずみ関係は供試全体を平均化したものであることに起因するものと考えられる)。

今後、粒状体の塑性学の立場から、岩質材料の構成方程式を導き、数値計算への適用を考える必要があろう。(参考文献)

1. Saenz, I.P. : Discussion of Equation for the Stress-Strain Curves of Concrete, A.C.I.J., Vol.61, 1964, pp. 1229-1235.

2. 川本, 石塚: 岩質材料のひずみ軟化特性を考慮した解析について、第14回土質工学研究発表会, G4, 349.

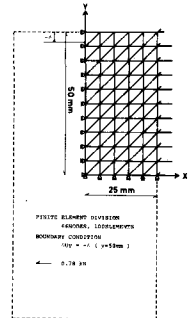


図3. 要素分割

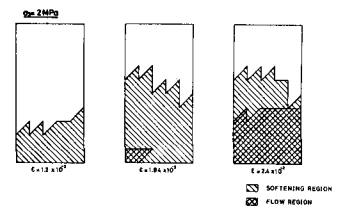


図4. 破壊域の進展

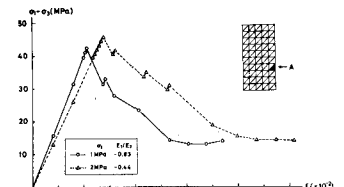


図5. 要素Aにおける応力-ひずみ関係

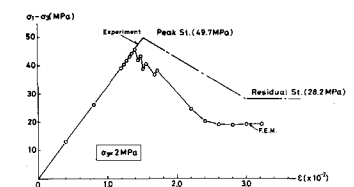


図6. 解析結果と実験結果の比較